

مدل سازی دینامیکی ربات انعطاف پذیر با استفاده از روش المان محدود و کنترل مسیر بهینه آن

محرم حبیب نژاد کورایم^{۱*}، مصطفی ناظمی زاده^۲ و حامد رحیمی نهوجی^۳

۱- دانشکده مهندسی مکانیک، دانشگاه علم و صنعت ایران

۲- باشگاه پژوهشگران جوان، دانشگاه آزاد اسلامی، واحد دماوند

۳- گروه مکانیک، دانشگاه آزاد اسلامی، واحد دماوند

* تهران، نارمک، خ فرجام

hkorayem@iust.ac.ir

ربات‌های انعطاف پذیر به دلیل وزن کم و قابلیت مانور پذیری بالا، کاربردهای فراوانی در صنایع فضایی دارند. در حقیقت نسبت بالای ظرفیت حمل بار به وزن اینگونه ربات‌ها موجب برتری آنها نسبت به نوع صلبشان گردیده است. همچنین مصرف انرژی کمتر، داشتن عملگرهای کوچکتر و همچنین سرعت عملکرد بالاتر این ربات‌ها را به عنوان انتخابی مناسب در کاربردهای فضایی معرفی کرده است. در این مقاله به مدل سازی دینامیکی ربات انعطاف پذیر با استفاده از روش المان محدود (finite element method) و طراحی مسیر حرکت نقطه به نقطه آن به روش کنترل بهینه پرداخته می‌شود. به منظور مدل سازی دینامیکی منیپولاتور (Manipulator) انعطاف پذیر، هر لینک آن به تعداد کافی المان تقسیم گردیده، و بردار جابجایی هر المان ربات به صورت مجموع یک حرکت صلب گونه، و یک جابجایی ناشی از انعطاف پذیری آن در نظر گرفته می‌شود. سپس با استفاده از اصل لاگرانژ معادلات دینامیکی ربات انعطاف پذیر استخراج شده، و تحلیل رفتار دینامیکی آن تحت اثر افزایش تعداد المان‌های لینک ربات مورد مطالعه قرار می‌گیرد. همچنین به منظور طراحی مسیر بهینه نقطه به نقطه منیپولاتور الاستیک، معادلات دینامیکی به عنوان قیود غیرخطی مسئله کنترل بهینه در نظر گرفته شده، و با تعریف تابعی هزینه مناسب شامل ترم‌های گشتاور و سرعت، فرمولاسیون مسئله انجام می‌شود. سپس با استفاده از روش حساب تغییرات، معادلات بهینگی ربات انعطاف پذیر به صورت یک مجموعه معادلات دیفرانسیل غیرخطی استخراج می‌گردد، که به کمک روش‌های عددی قابل حل است. مزیت استفاده از روش کنترل بهینه در طراحی مسیر بهینه ربات انعطاف پذیر، و همچنین کاهش حجم معادلات دینامیکی غیر خطی ربات، مورد توجه بیشتری قرار گرفته، و شبیه سازی انجام شده برای یک ربات تک لینکی الاستیک نشان دهنده کارایی روش پیشنهادی است.

واژه‌های کلیدی: ربات انعطاف پذیر، مدل سازی دینامیکی، روش المان محدود، کنترل مسیر، حرکت نقطه به نقطه، کنترل بهینه.

\vec{r}_{O_i}	برداری جابجایی O_i نسبت به مبدأ O
θ_i	جابجایی زاویه‌ای مفصل لینک i ام
n_i	تعداد المان لینک i ام
L_i	طول کلی لینک i ام
m_i	جرم بر واحد طول لینک i ام
l_{ij}	طول المان j از لینک i ام
E_i	مدول الاستیسیته لینک i ام
I_i	ممان اینرسی لینک i ام

اختصارات

ij	المان دلخواه i ام مربوط به لینک j ام ربات انعطاف پذیر
\vec{r}_{ij}	برداری جابجایی المان ij نسبت به مبدأ O

۱. استاد (نویسنده مخاطب)

۲. دانشجوی کارشناسی ارشد

۳. مربی آموزشی

مقدمه

اغلب ربات‌ها به‌گونه‌ای طراحی می‌شوند که بیشترین سفتی را داشته‌باشند. اما سفتی بالا را می‌توان با استفاده از مواد سنگین و ابعاد بزرگ به‌دست آورد که این منجر به محدود شدن سرعت عملکرد ربات، افزایش ابعاد عملگرها و مصرف بالای انرژی می‌شود. از آنجاکه در کاربردهای فضایی، سرعت بالای ربات، قابلیت مانور بالا و همچنین مصرف کم انرژی باید مورد توجه قرار گیرد، دلیل توجه بسیار طراحان به این گونه ربات‌ها نسبت به گونه صلب آنها بیشتر نمایان می‌شود.

ربات‌های صلب به‌گونه‌ای طراحی می‌شوند که بیشترین سفتی و صلبیت را دارند. این مسئله باعث می‌شود که این ربات‌ها وزن بیشتر و ابعاد بزرگ‌تری داشته‌باشند، که منجر به محدود شدن سرعت ربات، افزایش سایز عملگرها و مصرف بالای انرژی می‌شود. از طرفی در کاربردهای فضایی، نیاز به ربات‌های با مصرف انرژی کم، قابلیت مانور بالا و عملکرد سریع بوده؛ و لذا ربات‌های انعطاف‌پذیر در این زمینه کاربرد فراوانی یافته است. به بیان دقیق‌تر، ربات‌های انعطاف‌پذیر در مقایسه با نوع صلبشان مزایایی چون وزن سبک‌تر، محرک‌های کوچک‌تر، انرژی مصرفی پائین‌تر و هزینه ساخت کمتری دارند. بنابراین استفاده از بازوهای انعطاف‌پذیر در سال‌های گذشته مورد توجه بیشتری قرار گرفته و به ویژه در زمینه تحقیقات هوا و فضا [۱-۲] مورد کاربرد فراوان بوده است. بدین منظور مدل‌سازی و بررسی رفتار دینامیکی ربات لینک الاستیک توسط بسیاری از محققان مورد مطالعه قرار گرفته است: بوک [۳] از روش لاگرانژین برگشت‌پذیر برای استخراج معادلات دینامیکی ربات انعطاف‌پذیر استفاده کرد. رخشا و گودنبرگ [۴] با استفاده از روش نیوتن- اویلر برای تحلیل رفتار دینامیکی ربات انعطاف‌پذیر یک‌لینکی پرداخت. باراکو و دیگران [۵] رفتار دینامیکی بازوی لینک الاستیک را توسط دو مجموعه معادلات دینامیکی بیان کردند. در مرجع [۶] از مدل جرم متمرکز برای مدل‌سازی ربات انعطاف‌پذیر استفاده شده است. مقداری [۷] به مطالعه اثرات انعطاف‌پذیری در بازوهای الاستیک صفحه‌ای با در نظر گرفتن تغییر شکل‌های ناشی از خمش و پیش‌پرداخت. در مرجع [۸] تغییر شکل الاستیک لینک‌های ربات انعطاف‌پذیر به روش مودهای پیش فرض^۴ مدل‌سازی، و معادلات دینامیکی آن استخراج شده است. تاجداری و دیگران [۹] از روش جدید المان محدود به‌منظور مدل‌سازی و شبیه‌سازی منیپولاتورهای انعطاف‌پذیر استفاده کردند. همچنین عابدی و همکارانش [۱۰] به مدل‌سازی دینامیکی ربات انعطاف‌پذیر دو لینکی پرداختند. کورایم و ناظمی‌زاده [۱۱] به بررسی رفتار دینامیکی ربات انعطاف‌پذیر با استفاده از المان‌های محدود پرداختند.

از طرفی به‌منظور کنترل و هدایت سیستم‌های کاربردی هوا و فضا از روش‌های کنترلی مدرن استفاده می‌شود [۱۲، ۱۳]. وانگ و همکارانش [۱۴] به طراحی مسیر حرکت ربات صلب با استفاده از روش کنترل بهینه پرداختند. آنها از توابع B-Spline برای حل مستقیم مسئله کنترل بهینه استفاده کردند که این رویکرد باعث افزایش حجم محاسبات در حین طراحی مسیر بهینه می‌شود. کورایم و غریبیلو [۱۵] از روش برنامه‌ریزی خطی تکراری^۵ به‌منظور کنترل منیپولاتور لینک الاستیک و محاسبه ظرفیت حمل بار آن پرداختند. خطی‌سازی معادلات دینامیکی در مرحله طراحی مسیر و ارضانشدن کامل شرایط مرزی حرکت از مشکلات این روش است.

در این مقاله، با استفاده از روش المان محدود انجام هر لینک ربات به تعدادی المان تقسیم شده و بردار جابه‌جایی کلی المان به صورت مجموع بردار جابه‌جایی حرکت صلب و بردار جابه‌جایی انعطاف‌پذیری با در نظر گرفتن توابع فرمی هرمتین^۶ بیان می‌شود. با بیان بردار جابه‌جایی المان در مختصات مرجع، انرژی جنبشی و پتانسیل سیستم استخراج شده و با استفاده از اصل لاگرانژ معادلات دینامیکی ربات انعطاف‌پذیر استخراج می‌شود. تعداد المان‌های در نظر گرفته شده برای هر لینک ربات افزایش داده شده و تأثیر افزایش آن بر رفتار دینامیکی منیپولاتور مورد بررسی قرار می‌گیرد. همچنین با استفاده از روش کنترل بهینه به طراحی و کنترل مسیر حرکت نقطه به نقطه ربات لینک الاستیک پرداخته می‌شود. بدین منظور معادلات دینامیکی ربات در فضای حالت به‌عنوان قیود مسئله کنترل بهینه در نظر گرفته شده و تابع هدف کم‌ترین انرژی مصرفی شامل ترم‌های گشتاور و سرعت تعریف می‌شود. سپس از روش حساب تغییرات و اصل می‌نیمم پوتریاگین^۷ استفاده شده و معادلات بهینگی سیستم به‌صورت یک مجموعه معادلات دیفرانسیل غیرخطی کوپله شده بیان می‌شود. این معادلات به کمک روش‌های عددی و با در نظر گرفتن شرایط مرزی مشخص حل شده و مسیر بهینه حرکت ربات حاصل می‌شود. شبیه‌سازی انجام شده برای ربات انعطاف‌پذیر تک لینکی با در نظر گرفتن تعداد متفاوت المان‌ها و همچنین برتری استفاده از کنترل بهینه مورد بحث قرار گرفته و نتایج حاصله نشان‌دهنده کارایی روش پیشنهادی در کاربرد آن است.

استخراج معادلات دینامیکی ربات انعطاف‌پذیر به روش المان محدود

در حالت کلی برای بیان معادلات دینامیکی ربات انعطاف‌پذیر با تعداد m لینک، هر لینک i دلخواه i به n_i المان به طول l_{ij} تقسیم

5. Iterative linear programming

6. Hermetian shape functions

7. Ponryagin's minimum principle

4. Assumed mode

$$T_{ij} = \frac{1}{2} \int_0^{l_{ij}} m_i \left[\frac{\partial \vec{r}_{ij}^T}{\partial t} \cdot \frac{\partial \vec{r}_{ij}}{\partial t} \right] dx_{ij} \quad 0 < x_{ij} < l_{ij} \quad (3)$$

از طرفی بردار جابه‌جایی مطلق \vec{r}_{ij} المان، شامل مجموع $\vec{r}_{ij,r}$ جابه‌جایی ناشی از یک حرکت صلب لینک $\vec{r}_{ij,f}$ و همچنین بردار جابه‌جایی ناشی از تغییر شکل‌های الاستیک لینک نسبت به دستگاه $O_i X_i Y_i$ است. به عبارت دیگر با توجه به شکل (۱)، ربات ابتدا می‌تواند یک حرکت صلب‌گونه منطبق به جابه‌جایی زاویه‌ای θ_i مفصل داشته، و سپس جابه‌جایی ناشی از تغییر شکل الاستیک ربات نیز داشته باشد. رابطه (۴) بردار جابه‌جایی کلی المان را نشان می‌دهد:

$$\vec{r}_{ij} = \vec{r}_{ij,r} + \vec{r}_{ij,f} \quad (4)$$

برای بیان حرکت صلب‌گونه ربات متحرک، بردار جابه‌جایی آن را در دستگاه مختصات مرجع به صورت مجموع جابه‌جایی مفصل لینک $\vec{r}_{ij,r}$ و همچنین جابه‌جایی المان در دستگاه مختصات محلی $O_i X_i Y_i$ در نظر گرفته می‌شود، که بردار جابه‌جایی در مختصات محلی با استفاده از ماتریس تبدیل T_0^i در مختصات مرجع بیان می‌شود. همچنین بردار جابه‌جایی ناشی از انعطاف‌پذیری ربات به علت خیز الاستیک آن است که با استفاده از روابط المان محدود ارائه می‌شود. لذا روابط زیر بیانگر بردارهای جابه‌جایی المان است:

$$\vec{r}_{ij,r} = \vec{r}_{O_i} + T_0^i \begin{bmatrix} (j-1)l_i + x_{ij} \\ 0 \end{bmatrix} \quad (5)$$

$$\vec{r}_{ij,f} = T_0^i \begin{bmatrix} 0 \\ y_{ij} \end{bmatrix} \quad (6)$$

از طرفی y_{ij} جابه‌جایی قائم ناشی از انعطاف‌پذیری المان در دستگاه مختصات متصل به لینک \vec{r}_{ij} بوده و به صورت مجموعی از حاصل ضرب توابع تغییر فرم هر میتین در مختصات گره‌ای المان بیان می‌شود [۱۴]:

$$y_{ij}(x_{ij}, t) = \sum_{k=1}^4 \phi_k(x_{ij}) u_{2ij-2+k} \quad (7)$$

در رابطه (۷) عبارت ϕ_k بیانگر توابع فرمی و $u_{2ij-2+k}$ مختصات گره‌ای مربوط به المان ij است [۱۴]:

$$\phi_1(x_{ij}) = 1 - 3 \frac{x_{ij}^2}{l_{ij}^2} + 2 \frac{x_{ij}^3}{l_{ij}^3} \quad (8)$$

$$\phi_2(x_{ij}) = x_{ij} - 2 \frac{x_{ij}^2}{l_{ij}} + \frac{x_{ij}^3}{l_{ij}^2} \quad (9)$$

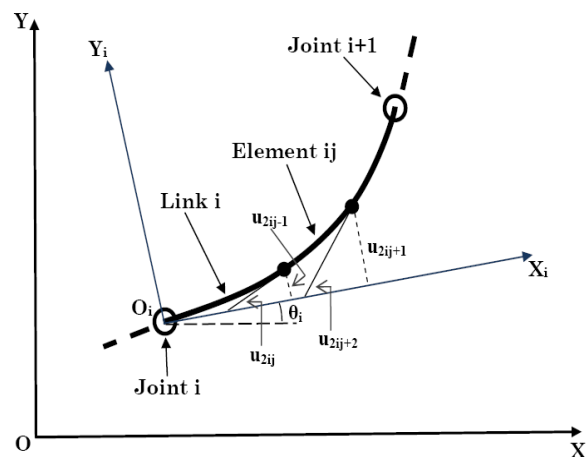
می‌شود. برای هر المان، بردار جابه‌جایی نسبت به دستگاه مرجع با \vec{r}_{ij} نمایش داده و انرژی جنبشی T_{ij} و انرژی پتانسیل V_{ij} به دست می‌آید. در این صورت با بیان بردار مختصات تعمیم یافته \vec{q} ، انرژی جنبشی و پتانسیل کلی سیستم از رابطه (۱) به دست می‌آید:

$$T(\vec{q}, \dot{\vec{q}}) = \sum_{i=1}^m \sum_{j=1}^{n_i} T_{ij} \quad V(\vec{q}, \dot{\vec{q}}) = \sum_{i=1}^m \sum_{j=1}^{n_i} V_{ij} \quad (1)$$

و با تشکیل تابع لاگرانژین $L(\vec{q}, \dot{\vec{q}}) = T - V$ و بیان اصل لاگرانژ، معادلات دینامیکی سیستم به شکل نهایی زیر بیان می‌شود:

$$M\ddot{\vec{q}} + f(\vec{q}, \dot{\vec{q}}) = B\vec{\tau} \quad (2)$$

در شکل (۱) آمین لینک از منیولاتور انعطاف‌پذیر نمایش داده شده‌است. دستگاه مختصات OXY دستگاه مرجع و دستگاه مختصات $O_i X_i Y_i$ دستگاه مختصات متصل به آمین لینک ربات است.



شکل ۱- ربات انعطاف‌پذیر

به منظور استخراج معادلات دینامیکی ربات انعطاف‌پذیر کافی است که انرژی جنبشی و پتانسیل المان دلخواه ij را محاسبه کرده و با استفاده از فرمول (۱) انرژی جنبشی و پتانسیل کلی سیستم را به دست آورد. سپس با استفاده از اصل لاگرانژین می‌توان به معادلات دینامیکی ربات انعطاف‌پذیر که به شکل رابطه (۲) بیان می‌شود دست یافت. بنابراین در ادامه به بررسی المان دلخواه ij پرداخته و روابط انرژی را برای آن استخراج می‌کنیم.

انرژی جنبشی و پتانسیل المان دلخواه ij از لینک \vec{r}_{ij}

چنانچه \vec{r}_{ij} بردار جابه‌جایی هر نقطه دلخواه از المان ij نسبت به مبدأ O دستگاه مرجع باشد، انرژی جنبشی المان ij را با T_{ij} نشان داده و از رابطه (۳) به دست می‌آید:

مقادیر خیز و شیب گره اول هر یک از لینک‌ها همواره صفر بوده و لذا مختصات تعمیم‌یافته مربوط به آنها باید از معادلات دینامیکی ربات انعطاف‌پذیر حذف شود.

$$u_{i1}(t) = 0, u_{i2}(t) = 0 \quad (17)$$

به منظور اعمال شرایط مرزی، به علت آنکه برخی از متغیرهای تعمیم‌یافته سیستم حذف می‌شود، بهتر است این حذف متغیرها در مرحله نوشتن تابع لاگرانژین سیستم انجام پذیرد، تا حجم محاسبات کاهش یابد.

شبیه‌سازی رفتار دینامیکی ربات انعطاف‌پذیر

در این رفتار دینامیکی یک ربات انعطاف‌پذیر تک‌لینکی مورد مطالعه قرار می‌گیرد.

پارامترهای ربات انعطاف‌پذیر در شبیه‌سازی انجام شده در جدول (۱) نشان داده شده است:

جدول ۱ - مقادیر پارامتری ربات انعطاف‌پذیر تک‌لینکی

مقادیر	پارامتر ربات
۱ متر	L_i
۵ کیلوگرم بر متر	m_i
۲۰ گیگا پاسکال	E_i
50×10^{-9} کیلوگرم بر مترمربع	I_i

به منظور بررسی رفتار دینامیکی ربات انعطاف‌پذیر و بررسی تأثیر تعداد المان بر پاسخ دینامیکی ربات انعطاف‌پذیر، ابتدا لینک ربات را با یک المان در نظر گرفته که با اعمال شرایط مرزی مختصات تعمیم یافته برابر با $\bar{q} = [\theta_1 \ u_3 \ u_4]$ است. همچنین در شبیه‌سازی دیگر لینک الاستیک به دو المان تقسیم می‌شود که مختصات تعمیم‌یافته در این حالت برابر $\bar{q} = [\theta_1 \ u_3 \ u_4 \ u_5 \ u_6]$ است. همچنین برای استخراج معادلات دینامیکی ربات الاستیک تک‌لینکی، ماتریس تبدیل به صورت زیر بیان می‌شود:

$$T_0^1 = \begin{bmatrix} \cos \theta_1 & -\sin \theta_1 \\ \sin \theta_1 & \cos \theta_1 \end{bmatrix} \quad (18)$$

در شبیه‌سازی انجام شده، ربات از شرایط اولیه $\theta_1 = \frac{-\pi}{3}$ و $\dot{\theta}_1 = 0$ در مدت زمان $t_f = 1.2s$ حرکت می‌کند.

موقعیت انتهایی ربات در شکل (۲) نشان داده شده است:

$$\phi_3(x_{ij}) = 3 \frac{x_{ij}^2}{l_{ij}^2} - 2 \frac{x_{ij}^3}{l_{ij}^3} \quad (10)$$

$$\phi_4(x_{ij}) = -\frac{x_{ij}^2}{l_{ij}} + \frac{x_{ij}^3}{l_{ij}^2} \quad (11)$$

با تعریف بردارهای مختصاتی $\bar{z}_{ij} = [\theta_1 \ u_{2ij-1} \ u_{2ij} \ u_{2ij+1} \ u_{2ij+2}]^T$ رابطه (۳) مربوط به انرژی جنبشی المان را می‌توان به صورت زیر بازنویسی کرد:

$$T_{ij} = \frac{1}{2} \dot{\bar{z}}_{ij}^T M_{ij} \dot{\bar{z}}_{ij} \quad (12)$$

$$M_{ij}(l, p) = \int_0^l m_i \left[\frac{\partial \bar{r}_{ij}}{\partial z_{ijp}} \right]^T \cdot \left[\frac{\partial \bar{r}_{ij}}{\partial z_{ijp}} \right] dx_{ij}$$

ماتریس M_{ij} ماتریس عمومی جرم برای المان ij نامیده می‌شود و Z_{ij} بیانگر ردیف l/m از بردار z_{ij} است.

برای محاسبه انرژی پتانسیل V_{ij} المان دلخواه ij از لینک نام، انرژی پتانسیل به صورت مجموع انرژی پتانسیل گرانشی V_{gij} ناشی از وزن و انرژی پتانسیل کشسانی V_{eij} ناشی از الاستیک بودن المان در نظر گرفته می‌شود:

$$V_{ij} = V_{gij} + V_{eij} \quad (13)$$

انرژی پتانسیل گرانشی با استفاده از مؤلفه قائم بردار جابه‌جایی مطلق المان بیان شده و برابر با رابطه (۱۴) است:

$$V_{gij} = \int_0^l m_i g [0 \ 1] \bar{r}_{ij} dx_{ij} \quad (14)$$

و همچنین انرژی پتانسیل الاستیک المان از رابطه زیر به دست می‌آید:

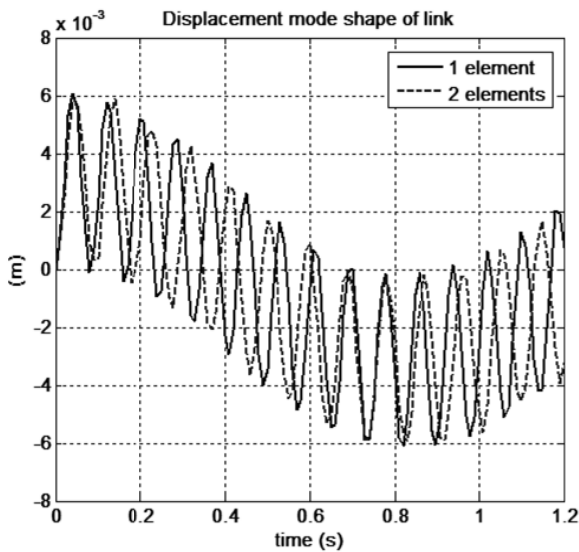
$$V_{eij} = \frac{1}{2} \int_0^l EI_i \left(\frac{\partial^2 y_{ij}}{\partial x_{ij}^2} \right) dx_{ij} = \frac{1}{2} \bar{\psi}_{ij}^T K_{ij} \bar{\psi}_{ij} \quad (15)$$

که در آن K_{ij} ماتریس سختی المان ij است و برابر با رابطه (۱۶) است:

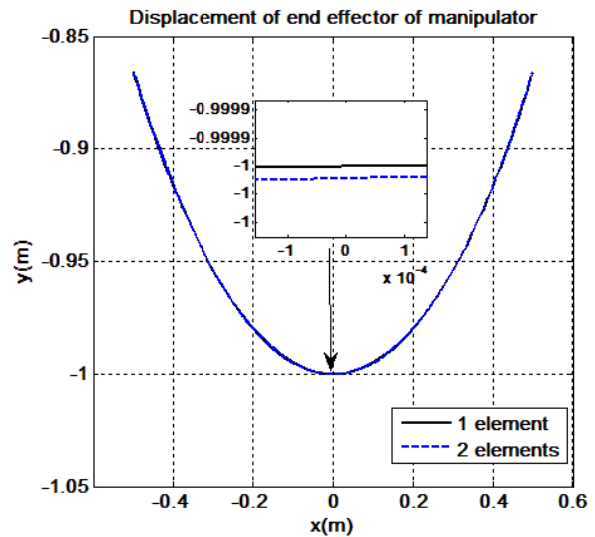
$$K_{ij} = \frac{EI_i}{l_i^3} \begin{bmatrix} 12 & 6l_i & -12 & 6l_i \\ 6l_i & 4l_i^2 & -6l_i & 2l_i^2 \\ -12 & -6l_i & 12 & -6l_i \\ 6l_i & 2l_i^2 & -6l_i & 4l_i^2 \end{bmatrix} \quad (16)$$

اعمال شرایط مرزی

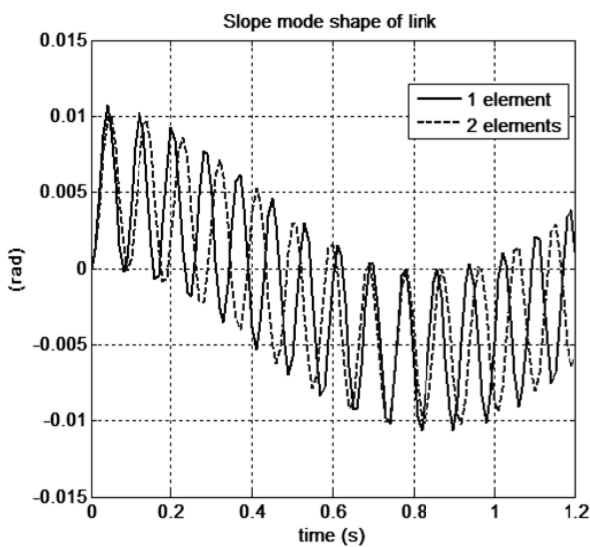
چنانچه معادلات دینامیکی ربات انعطاف‌پذیر با دقت بررسی شود، مطابق شکل (۱) به این نتیجه می‌توان رسید که گره اول لینک دلخواه l/m منطبق بر مفصل همان لینک است. به عبارت دیگر



شکل ۴- خیز الاستیک انتهای ربات



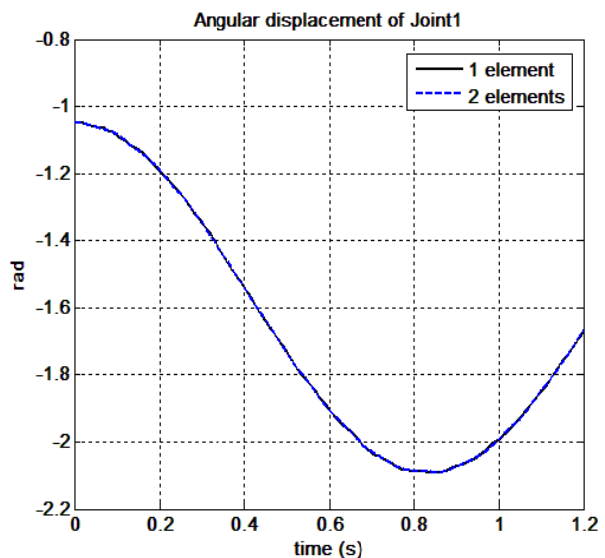
شکل ۲- موقعیت انتهای ربات الاستیک تک لینکی



شکل ۵- شیب الاستیک انتهای ربات

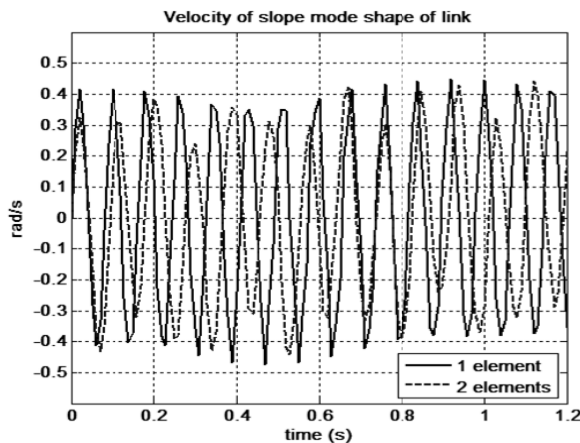
همان‌طور که در شکل‌های (۴) و (۵) مشاهده می‌شود، با افزایش تعداد المان ماکزیمم مقادیر خیز الاستیک انتهای ربات از مقدار 0.0063 متر به 0.0060 متر تغییر کرده، و همچنین ماکزیمم مقدار شیب الاستیک از 0.0107 rad به 0.0105 رادیان کاهش می‌یابد. البته به‌منظور بررسی همگرایی پاسخ دینامیکی سیستم با افزایش تعداد المان، شبیه‌سازی برای حالت سه المان نیز انجام شد، که در این حالت ماکزیمم خیز برابر با 0.0059 متر و ماکزیمم شیب برابر با 0.0104 رادیان بوده است. لذا مشاهده می‌شود که با افزایش تعداد المان، همگرایی نسبی در نتایج شبیه‌سازی ایجاد شده است. در شکل (۶)، سرعت زاویه‌ای مفصل ربات نشان داده شده است:

همچنین جابه‌جایی زاویه‌ای مفصل ربات در شکل (۳) نشان داده شده است:



شکل ۳- جابه‌جایی زاویه‌ای مفصل ربات

همان‌طور که در شکل‌های (۲) و (۳) نشان داده شده است، با افزایش تعداد المان نمودارهای موقعیت پنجه و جابه‌جایی زاویه‌ای ربات تغییر چندانی نمی‌کند. همچنین در شکل‌های زیر خیز و شیب الاستیک انتهای مینیولاتور انعطاف‌پذیر نمایش داده شده است:



شکل ۸- مشتق زمانی شیب الاستیک انتهای ربات

سیستم کمتر است و برای همگرایی مقادیر سرعت باید تعداد المان را افزایش داد که باعث افزایش حجم معادلات دینامیکی سیستم و حجم محاسبات می‌شود. روش دیگر استفاده از روش‌های کنترلی پیشرفته است که در بخش بعد مورد مطالعه قرار می‌گیرد.

طراحی و کنترل بهینه مسیر نقطه به نقطه ربات انعطاف‌پذیر

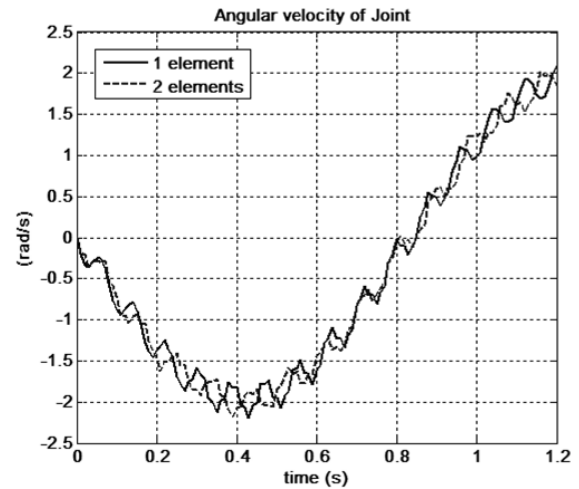
در این بخش، به طراحی و کنترل بهینه مسیر نقطه به نقطه حرکت ربات انعطاف‌پذیر پرداخته می‌شود. بدین منظور از روش کنترل بهینه برای طراحی مسیر ربات استفاده می‌شود. استفاده از روش کنترل بهینه در طراحی مسیر و کنترل سیستم‌ها با درجات آزادی بالا و معادلات دینامیکی غیرخطی، مناسب محسوب می‌شود و مورد استفاده قرار می‌گیرد [۱۵].

فرمولاسیون کنترل بهینه

به‌منظور فرمولاسیون مسئله کنترل بهینه، معادلات دینامیکی ربات انعطاف‌پذیر در فضای حالت $\dot{X} = f(X, U)$ به عنوان قیود مسئله تعریف می‌شود و هدف یافتن بردار وضعیت بهینه X^* و کنترل ورودی بهینه U^* به گونه‌ای است که معادلات قیدی سیستم برقرار و تابع هدف زیر کمینه شود:

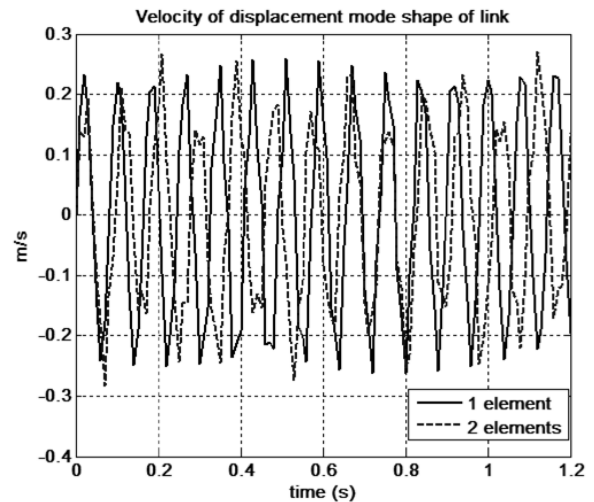
$$J(X, U) = \int_{t_0}^{t_f} L(X(t), U(t), t) dt \quad (19)$$

با تشکیل مسئله کنترل بهینه، برای حل آن از روش حساب تغییرات و اصل می‌نیم پونتریاگن استفاده می‌شود. ابتدا تابع



شکل ۶- سرعت زاویه‌ای مفصل ربات

همان‌طور که در شکل (۶) مشاهده می‌شود، با افزایش تعداد المان تغییرات سرعت زاویه‌ای مفصل ربات محسوس‌تر است. در شکل‌های زیر نیز مشتق زمانی خیز و شیب الاستیک ربات نشان داده شده است:



شکل ۷- مشتق زمانی خیز الاستیک انتهای ربات

در شکل‌های (۷) و (۸) با افزایش تعداد المان، ماکزیمم مقدار سرعت خیز الاستیک انتهای ربات از مقدار ۰/۲۶۲۱ متر بر ثانیه به ۰/۲۸۳۳ متر بر ثانیه تغییر کرده است، و ماکزیمم مقدار سرعت شیب الاستیک انتهای ربات از مقدار ۰/۴۷۴۴ رادیان بر ثانیه به ۰/۴۳۲۳ رادیان بر ثانیه تغییر می‌کند. البته شبیه‌سازی برای حالت سه المان نیز انجام شد، که در این حالت ماکزیمم سرعت خیز برابر با ۰/۲۹۲۳ متر بر ثانیه و ماکزیمم سرعت شیب برابر با ۰/۴۲۱۴ رادیان بر ثانیه بوده است. نتایج به‌دست‌آمده نشان‌دهنده آن است که به ازای افزایش تعداد المان، میزان همگرایی مقادیر سرعت‌های مختصات طبیعی

انعطاف‌پذیر تک لینکی مطابق با جدول (۲)، به طراحی مسیر و کنترل بهینه حرکت ربات پرداخته می‌شود.

در این شبیه‌سازی، لینک منیپولاتور انعطاف‌پذیر با یک المان در نظر گرفته شده و مختصات تعمیم‌یافته برابر با $\bar{q} = [\theta_1 \quad u_3 \quad u_4]$ است.

همچنین در مفصل ربات از یک موتور جریان مستقیم استفاده می‌شود که دارای معادله مشخصه زیر است:

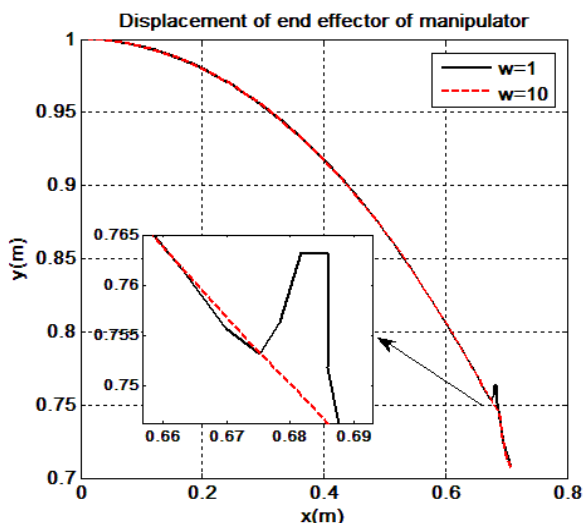
$$u_{\max} = K_1 - K_2 \dot{\theta}_1 \quad (25)$$

$$u_{\min} = -K_1 - K_2 \dot{\theta}_1$$

و ضرایب ثابت به صورت $K_1 = 40 \text{ Nm}$ و $K_2 = 1.12 \text{ Nms/rad}$ در نظر گرفته می‌شود.

در طراحی مسیر نقطه به نقطه ربات، منیپولاتور از شرایط اولیه $\theta_{1,i} = 0, \dot{\theta}_{1,i} = \frac{\pi}{4}$ به شرایط نهایی $\theta_{1,f} = \frac{\pi}{2}, \dot{\theta}_{1,f} = 0$ در مدت زمان $t_f = 1.5 \text{ s}$ حرکت می‌کند.

از مزایای روش کنترل بهینه آن است که با تغییر نسبی ضرایب وزنی در تابع هزینه، می‌توان مسیرهای بهینه متنوعی برای حرکت نقطه به نقطه ربات در نظر گرفت. لذا در این شبیه‌سازی با فرض آنکه ماتریس‌های وزنی به صورت $W = \text{diag}(0 \quad 0 \quad 0 \quad w \quad w \quad w)$ و $R = \text{diag}(r)$ باشد، مقادیر $r=1$ و $w=1$ or 10 در نظر گرفته شده و تأثیر تغییر ضرایب وزنی بر کنترل مسیر بهینه بررسی می‌شود. مسیر بهینه پنجه ربات انعطاف‌پذیر در شکل (۹) نشان داده شده است:



شکل ۹- مسیر بهینه ربات انعطاف‌پذیر

همچنین نمودار جابه‌جایی زاویه‌ای ربات در شکل (۱۰) نشان داده شده است:

همیلتونین به صورت $H = L + P^T \dot{X}$ تشکیل می‌شود که بردار P را بردار شبه حالت می‌نامند. سپس با انجام برخی محاسبات ریاضی، در نهایت شرایط بهینگی به صورت مجموعه معادلات دیفرانسیل غیرخطی کوپله شده استخراج می‌شود [۱۶]:

$$\dot{X}^*(t) = \frac{\partial H}{\partial P}(X^*(t), U^*(t), P^*(t), t) \quad (20)$$

$$\dot{P}^*(t) = -\frac{\partial H}{\partial X}(X^*(t), U^*(t), P^*(t), t) \quad (21)$$

$$0 = \frac{\partial H}{\partial U}(x^*(t), u^*(t), P^*(t), t) \quad (22)$$

همچنین از اصل می‌نیم پونتریاگین استفاده می‌شود. این اصل بیان می‌کند که باید مقادیر بهینه به دست آمده، تابع همیلتونین را نیز کمینه کند، و لذا با در نظر گرفتن قید بر روی کنترل ورودی سیستم، رابطه بهینگی (۲۲) به صورت زیر بیان می‌کند:

$$u^*(t) = \begin{cases} u_{\min} & u^* < u_{\min} \\ u^* & u_{\min} < u^* < u_{\max} \\ u_{\max} & u_{\max} < u^* \end{cases} \quad (23)$$

که در رابطه (۲۳)، u_{\min}, u_{\max} به ترتیب مقادیر ماکزیمم و می‌نیم اشباع محرک ربات را نشان می‌دهد.

در نهایت، معادلات بهینگی به صورت یک مسئله مقدار مرزی استخراج می‌شود که با استفاده از دستور `bvp4c` در نرم‌افزار متلب قابل حل است.

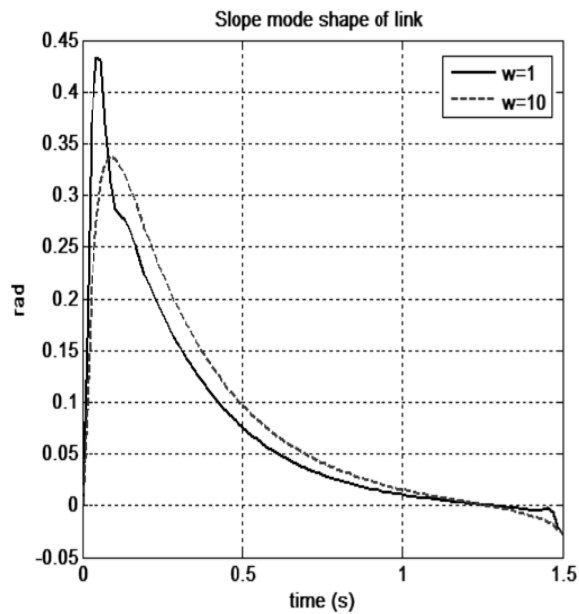
نکته مهم دیگر، تعیین تابع هزینه مناسب است. در این مقاله به منظور کمینه کردن مصرف انرژی ربات انعطاف‌پذیر (که هدف مهمی در کاربردهای هوا و فضا محسوب می‌شود)، تابع هزینه سیستم به صورت مجموع ترم‌های گشتاور ورودی ربات و سرعت‌های سیستم در نظر گرفته می‌شود:

$$J = \int_{t_0}^{t_f} \left(\frac{1}{2} \|X_v\|_W^2 + \frac{1}{2} \|U\|_R^2 \right) \quad (24)$$

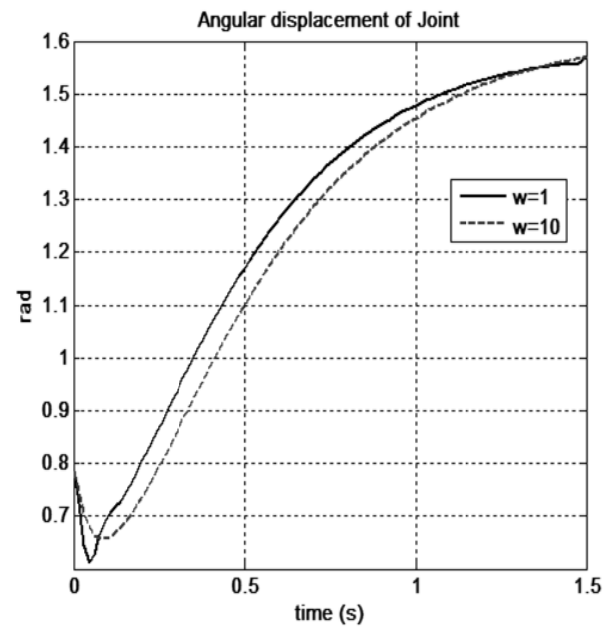
که $\|X_v\|_K^2$ نرم مربعی تعمیم یافته بردار X_v شامل متغیرهای حالت سرعت نسبت به ماتریس وزنی K است. W ماتریس وزنی فضای حالت است و به صورت قطر $W = \text{diag}(w_1 \quad \dots \quad w_{2n+2})$ در نظر گرفته شده، و R ماتریس وزنی گشتاور ورودی سیستم است و برابر با $R = \text{diag}(r_1 \quad \dots \quad r_m)$ لحاظ می‌شود.

شبیه‌سازی کنترل مسیر

در این بخش، با در نظر گرفتن مقادیر پارامترهای ربات



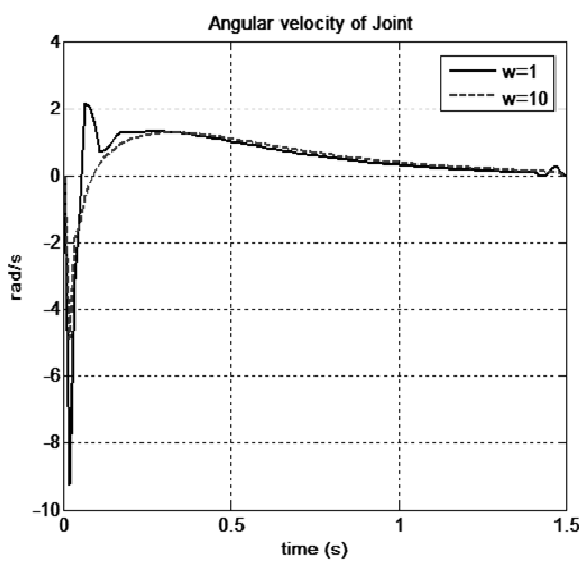
شکل ۱۲- شیب الاستیک بهینه انتهای ربات



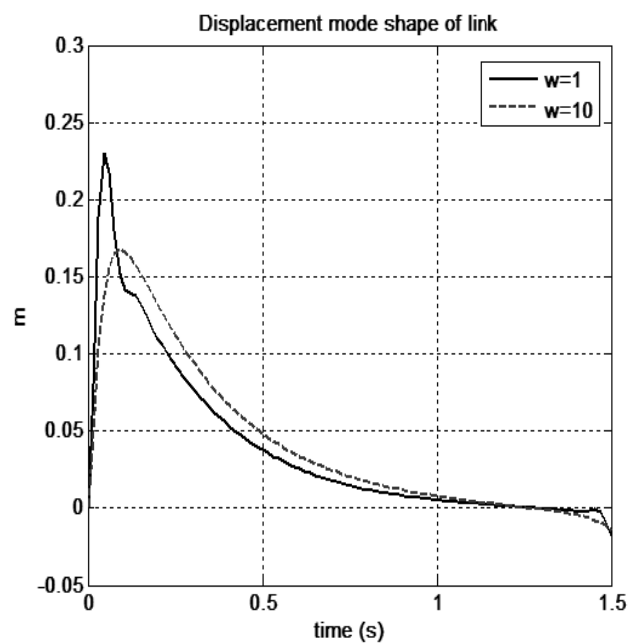
شکل ۱۰- جابه‌جایی زاویه‌ای بهینه مفصل ربات

همان‌طور که در شکل‌های بالا مشاهده می‌شود، با استفاده از روش کنترل بهینه مقادیر خیز و شیب الاستیک حالت نوسانی کمتری دارند. در شکل‌های (۱۳) تا (۱۵) سرعت زاویه‌ای مفصل ربات و همچنین مشتق زمانی خیز و شیب الاستیک انتهای ربات نشان داده شده است:

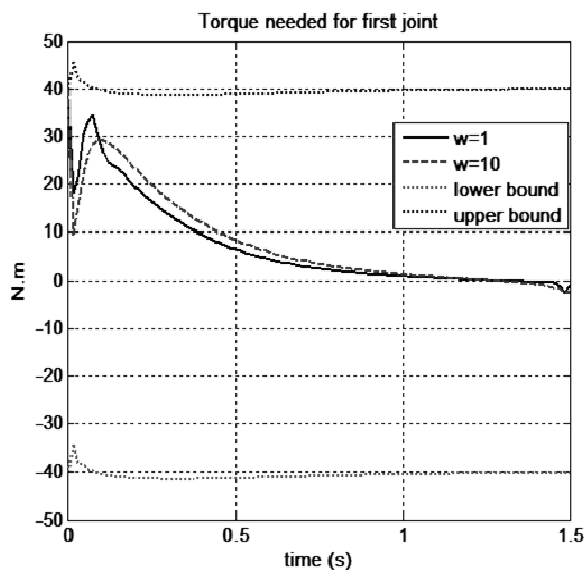
همان‌طور که در شکل (۱۰) مشاهده می‌شود، با افزایش ضریب وزنی، اکستریم جابه‌جایی زاویه‌ای کاهش یافته است. در شکل‌های (۱۱) و (۱۲) خیز و شیب الاستیک بهینه نمایش داده شده است.



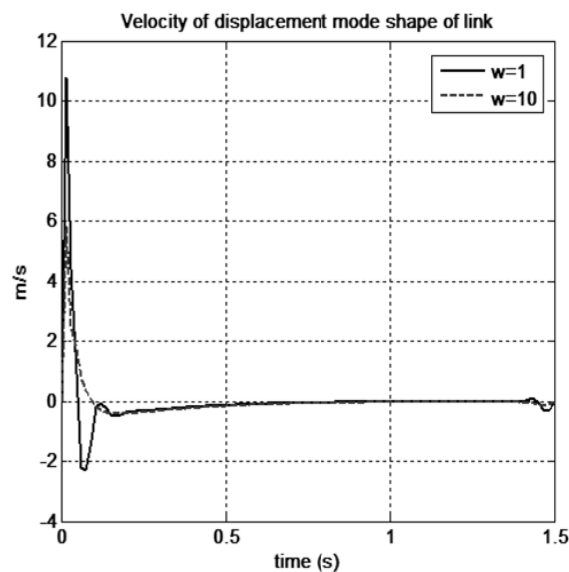
شکل ۱۳- سرعت زاویه‌ای بهینه مفصل ربات



شکل ۱۱- خیز الاستیک بهینه انتهای ربات



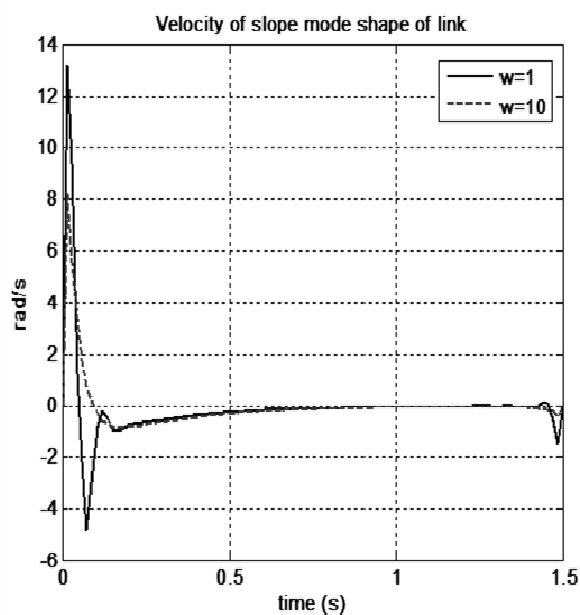
شکل ۱۶- گشتاور بهینه وارد بر مفصل ربات



شکل ۱۴- مشتق زمانی خیز الاستیک انتهای ربات

نتیجه‌گیری

هدف از این مقاله، بررسی رفتار دینامیکی و کنترل بهینه مسیر ربات انعطاف‌پذیر با در نظر گرفتن کاربردهای فراوان آن در علم هوا و فضا بوده است. ابتدا به منظور مدلسازی دینامیکی ربات از روش المان محدود استفاده می‌شود و بردار جابه‌جایی کلی المان به صورت مجموع بردار جابه‌جایی حرکت صلب و بردار جابه‌جایی انعطاف‌پذیری بیان شده است. با بیان بردار جابه‌جایی المان در مختصات مرجع، انرژی جنبشی و پتانسیل سیستم استخراج شده و با استفاده از اصل لاگرانژ معادلات دینامیکی ربات انعطاف‌پذیر استخراج می‌شود. به منظور تحلیل رفتار دینامیکی مینیولاتور، تعداد المان‌های ربات را افزایش داده و تأثیر آن بر همگرایی پاسخ سیستم شبیه‌سازی شده و مورد بحث قرار گرفته است. همچنین از روش کنترل بهینه به منظور طراحی مسیر بهینه و کنترل مسیر نقطه به نقطه ربات استفاده شده است. با در نظر گرفتن معادلات دینامیکی ربات و تابع هزینه مناسب، فرمولاسیون مسئله کنترل بهینه انجام شده و با استفاده از روش حساب، تغییرات معادلات بهینگی سیستم به صورت یک مجموعه معادلات دیفرانسیل غیرخطی استخراج شده است. سپس با حل عددی آن، طراحی مسیر بهینه و کنترل بهینه ربات انعطاف‌پذیر شبیه‌سازی شده و تأثیر تغییر ضرایب وزنی تابع هزینه در طراحی مسیر بهینه مورد بحث قرار گرفته است. شبیه‌سازی‌های انجام شده نشان می‌دهد که با افزایش ضرایب وزنی، مسیر بهینه به دست آمده هموارتر می‌شود. همچنین برتری استفاده از روش کنترل بهینه در کاهش اثرات غیرخطی سیستم و



شکل ۱۵- مشتق زمانی شیب الاستیک انتهای ربات

همان‌طور که در شکل‌های (۱۳) تا (۱۵) نشان داده شده است، با افزایش ضریب وزنی سرعت، میزان اکسترمم مقادیر سرعت بهینه کاهش زیادی می‌یابد و مسیر بهینه مناسب‌تری به دست می‌آید. اما باید توجه داشت که با افزایش ضریب وزنی حالت، مقادیر اکسترمم گشتاور، افزایش نسبی یافته که در شکل (۱۶) نشان داده شده است:

Flexible Robot Manipulators,” *Mech. & Aerospace Eng. Journal*, Vol. 4, No. 3, 2008, pp. 85-95.

- [10] Abedi, E., Nadooshan, A. and Salehi, S., “Dynamic Modeling of Two Flexible Link Manipulators,” *International Journal of Natural Sciences and Engineering*, Vol. 2, No. 2, 2009, pp. 186-192.
- [11] Korayem, M.H., Nazemizadeh M. and Rahimi, H.N., “Application of Finite Element Method on Modeling of Dynamic Behavior of Special Flexible Manipulator, and its Point-to-Point Path Planning”, *the 10th Conference of Iranian Aerospace Society*, Tehran, Tarbiat Moddares University, 1389 (In Persian).
- [12] Pourtakdoust, S. H., Fakhri, M., and Assadian, N., “Development of an Integrated Design Environment for Optimal Ascent Trajectory Planning”, *Journal of Space Science and Technology*, Vol. 1, No. 1, 2008, pp. 1-10 (In Persian).
- [13] Fazl-zadeh, S.A. and Varzandian, Gh.A., “Optimal Low-Thrust Spacecraft Trajectories Using Time-Domain Finite Element Method”, *Journal of Space Science and Technology*, Vol. 1, No. 2, 2009, pp. 43-50 (In Persian).
- [14] Wang, Ch., Timoszyk, E. and Bobrow J.E., “Payload Maximization for Open Chained Manipulator: Finding Motion for a Puma 762 Robot,” *IEEE Transaction on Robotics and Automation*, Vol. 17, No. 2, 2001, pp. 325-332.
- [15] Ghariblu, H., Korayem, M.H., “Trajectory Optimization of Flexible Mobile Manipulators,” *Robotica*, Vol. 24, No. 3, 2006, pp. 333-335.
- [16] Zienkiewicz, O.C., Taylor, R.L. and Zhu, J.Z., *The Finite Element Method, its Basis and Fundamentals*, Elsevier Butterworth Heinemann, 2005.
- [17] Korayem, M.H. and Nikoobin, A., “Maximum Payload for Flexible Joint Manipulators in Point-to-Point Task Using Optimal Control Approach,” *The International Journal of Advanced Manufacturing Technology*, Vol. 38, No. 9-8, 2008, pp. 1045-1060.
- [18] Kirk, D.E., *Optimal Control Theory, an Introduction*, Dover publications, 1970.

ایجاد متغیرهای حالت هموارتر نشان داده شده و نتایج حاصله، نشان‌دهنده کارایی روش پیشنهادی در کاربرد آن است.

مراجع

- [1] Satoko, A. and Kazuya, Y., “Adaptive Reaction Control for Space Robotic Applications with Dynamic Model Uncertainty,” *Advanced Robotics*, Vol. 24, No. 8-9, 2010, pp. 1099-1126.
- [2] Mahmoodi, S.N. and Ahmadian M., “Modified Acceleration Feedback for Active Vibration Control of Aerospace Structures,” *Smart Materials and Structures*, Vol. 19, No. 6, 2010, pp. 125-132.
- [3] Book, W. J., “Recursive Lagrangian Dynamics of Flexible Manipulator Arms,” *International Journal of Robotics Research*, Vol. 3, No. 3, 1999, pp. 87-93.
- [4] Rakhsha, F. and Godenberg, A. A., “Dynamic Modeling of a Single Link Flexible Robot,” *Proceeding of IEEE International Conference on Robotics and Automation*, 1985, pp. 1090-1095.
- [5] Barraco, A., Cany, A. and Ishiomin, A., “Dynamic Models for Flexible Robot, Different Approaches,” *International Journal of Robotics Research*, Vol. 11, No. 4, 1986, pp. 1038-1042.
- [6] Megahed, S. M. and Hamza, K. T., “Modeling and Simulation of Planar Flexible Link Manipulators with Rigid Tip Connections to Revolute Joints,” *Robotica*, Vol. 22, No. 3, 2004, pp. 285-300.
- [7] Meghdari, A., “A Variational Approach for Modeling Flexibility Effects in Manipulator Arms,” *Robotica*, Vol. 9, No. 2, 1991, pp. 213-217.
- [8] Green, A. and Sasiadek, J. Z., “Robot Manipulator Control for Rigid and Assumed Mode Flexible Dynamics Models,” *AIAA Guidance, Navigation and Control Conference and Exhibit*, 2003, pp. 324-331.
- [9] Tajdari, M., Hajabasi, M. A. and Khoogar, A. R., “A New Approach to Finite Element Modeling and Simulation of